

## 직렬공진 PWM인버터를 이용한 전자간접유도가열 열유체 에너지시스템과 그 성능평가

金 龍 柱\*, 金 基 桓, 申 大 淩

Electromagnetic Indirect Induction Fluid Heating System using Series Resonant PWM Inverter and Its Performance Evaluations

Yong-Ju Kim, Kee-Hwan Kim, and Dae-Cheul Shin

### 요 약

본 논문에서는 간접 유도가열 되는 DPH시스템과 주파수 범위가 20kHz에서 50kHz사이에서 작동되는 전압형 직렬공진 고주파인버터를 이용하여 열 기체를 발생시키는 전압형 공진형 인버터에 관하여 설명하였다. 얇은 스텐레스 판재가 서로 스포트 용접되어 연결되어있고 미세한 많은 구멍을 갖고있는 적층형 충진발열체로 특수하게 설계된 유도 가열기는 외부에 워크 코일로 감겨져 있는 불소수지계의 절연용기 안에 삽입되어있다. 이 워크 코일은 공진형 인버터와 연결되어 있으며 유도가열기를 통해 흐르는 관 유체를 1단가열부에서 저압의 포화증기를 2단가열부에서 열방사성 증발유체를 생성하는 본 DPH시스템의 성능 및 효용성을 실용적인 측면에서 논의하고 평가 할 것이다.

### ABSTRACT

This paper is described the indirect induction heated boiler and induction heated hot air producer using the voltage-fed series resonant high-frequency inverter which can operate in the frequency range from 20 kHz to 50 kHz. A specially designed induction heater is composed of laminated stainless plates, which have many tiny holes and are interconnected by spot welding. This heater is inserted into the ceramic type vessel with external working coil. This working coil is connected to the inverter and turbulence fluid through this induction heater to moving fluid generates in the vessel. The operating performances of this unique appliance in next generation and its effectiveness are evaluated and discussed from a practical point of view.

**Key Words :** High-Frequency Resonant Inverter Applications, Fluid Heating Appliance, Pipe-line Heating, Electromagnetic Induction-Fluid Heating, Auto-Tuning PID Temperature Control

### 1. 서 론

\*특허청 전기심사담당관실 심사관  
E-mail : kobeman@unitel.co.kr

접수일자 : 2001. 8. 6

1차심사요청일 : 2001. 8. 7 2차심사요청일 : 2001. 9.14

심사완료일 : 2002. 1. 3

전자유도가열 발열체와 유체이동과의 새로운 열교환 방식은 파이프라인 시스템에 있어서 여러 가지의 기체, 액체 및 증발체 등을 저온에서 초고온에 이르기까지 고정도의 가열이 가능한 방법으로 일체의 연소과정이 없다는 점에서 작업환경의 개선이 가능하며, 온도 제어 신뢰성에 뛰어난 특성을 보이는 전자유도 유체 가열기술은 IGBT대응의 고주파 인버터를 사용하여 고

성능·고효율의 시스템화가 가능한 고주파 PE (Power Electronics)의 새로운 분야로 주목받고 있다<sup>[1,2]</sup>.

이러한 고주파 인버터는 상용교류·다이오드전류 비평활 직류로부터 수kHz~수MHz의 고주파교류를 발생시킬 수 있다. 본 논문에서의 고주파 인버터는 모듈타입의 IGBT를 사용한 위상지연 PWM공진형 고주파인버터를 도입하여 부하로서 고주파자속을 발생시키는 유도자 워크코일, 즉 이동유체를 가열시키기 위해 와전류를 이용하는 특수하게 설계된 넓은 전열면적을 갖는 적층형 타입의 충진발열체를 사용한다. 부하계는 이러한 구조물을 내장한 유체가열 용기, 용기출구의 유체 온도를 안정하게 제어하기 위해 열전대 일점검출에 의한 자동 튜닝 PID 제어부로 구성된다. 이러한 전기에너지→열교환 시스템은 절연체의 파이프내부에 새롭게 설계된 유도발열체 구조물을 통과하는 이동유체의 난류(亂流)를 이용하여 유체를 내부로부터 가열하는 방식 (DPH: Dual Packs Heater)과 유도발열체를 내장한 자성(磁性)스테인레스와 알루미늄의 2중 구조의 금속합판 구조의 발열체인 용기 파이프의 내벽을 유체가 접촉 이동하여 외부로부터 내부로 향하는 가열방식 (SPH: Single Pack Heater)으로 나눌 수 있다<sup>[4]</sup>.

본 논문에서는 새롭게 제시된 DPH 및 SPH방식의 고주파 공진형 인버터제어를 이용한 전자유도 열유체 가열방식의 에너지 생성 및 그 응용 시스템을 예로 들어 시뮬레이션에 의한 동작해석, 실험결과 및 이동유체의 순시가열시스템의 성능평가와 그 응용에 대해 논하고자 한다.

## 2. 전자유도 유체가열 시스템의 구조

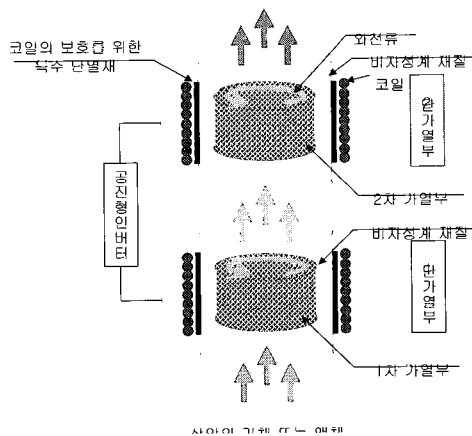


그림 1 DPH 시스템의 구조

Fig. 1 Configuration of the DPH system

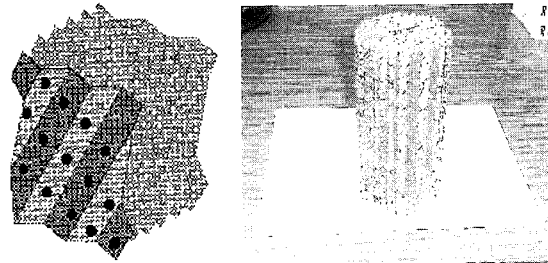


그림 2 적층형 규칙 총진물

Fig. 2 Induction-heated metallic package

그림 1에 나타낸 DPH시스템의 구조는 절연 파이프 내의 가열용기 내부에 특수발열체인 적층형 규칙충진물을 워크 코일로부터 전자유도에 의해 와전류로 발열시켜 절연파이프 용기에 물이나 공기 등의 이동유체를 전자(電磁)유도 발열체인 적층형 규칙충진물에 접촉시킴에 따라 작은 비열로 급속 가열을 가능하게 하는 새로운 유체가열 시스템의 구조를 나타낸다.

그림 2는 발열체로서 특수하게 설계된 적층형 규칙  
충진발열체를 나타내는데 이 발열체는 금속선이 아닌  
금속박판을 이용하기 때문에 고온 가열시 단선, 단락  
및 전기절연 성능이 뛰어나며 열 용량이 작은 발열부  
의 구성이 가능하고 유체통과 저항이 극히 작아 출력  
부의 온도응답특성이 빠르며 정밀 온도제어가 가능하  
다는 종래의 유체가열장치에서 얻을 수 없었던 뛰어난  
특성을 갖는다<sup>[3, 4]</sup>.

### 3. 고주파 인버터 및 그 제어장치

그림 3에 고주파인버터로서 정주파 PWM방식 전압형 직렬부하 공진형 인버터를 나타내는데 이것은 절연파이프의 두께, 내부의 적층형 규칙 충진발열체의 소재 그리고 가열 유체계에 의해 변화하는 인덕턴스와 저항분으로 구성되는 전기회로 모델로 볼 수 있다.

실제로 위킹코일과 피가열 물체계의 사이에 정합 트랜스가 사용되는데 R-L부하와 L을 보상하는 C로부터 직렬공진 회로계를 위한 고효율 운전을 위하여 인버터의 동작 주파수 설정이 매우 중요하다. 이는 R-L회로에 직렬보상 콘덴서 C를 사용하여 R-L-C직렬부하 공진회로 부하계를 구성하는데 발열체를 극한정도까지 가열하지 않으면 전기회로 정수는 거의 변화하지 않기 때문에 R-L회로계로 볼 수 있으므로 직렬부하보상 콘덴서 C는 R-L부하계의 L을 보상하는 최적동조조건 하에서 사용 가능하다.

R-L부하계의 R이 IGBT의 도통저항에 비해 비교적

큰 경우에는 직렬공진회로계가, R-L부하계의 R이 IGBT의 도통저항에 비해 작은 경우에는 직렬 인더턴스를 갖는 병렬공진회로가 효율적 측면에서 유리하다고 할 수 있다.

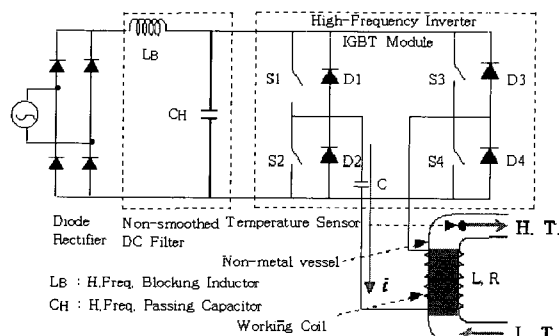


그림 3 전압형 직렬부하 PWM 공진형 인버터

Fig. 3 Voltage-fed full-bridge type series load PWM resonant inverter

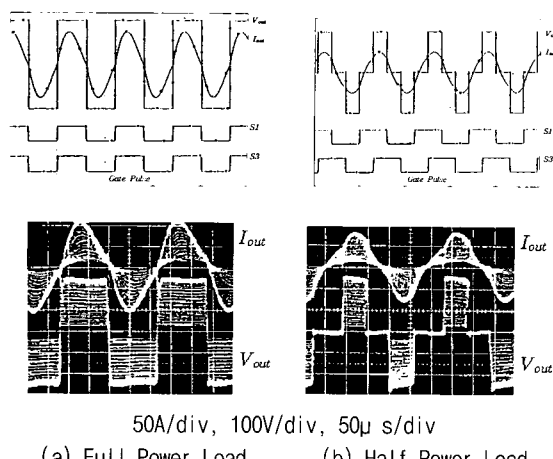


그림 4 시뮬레이션 파형과 실측된 출력전압 및 전류 파형

Fig. 4 Simulated and measured wave-forms of output voltage and current

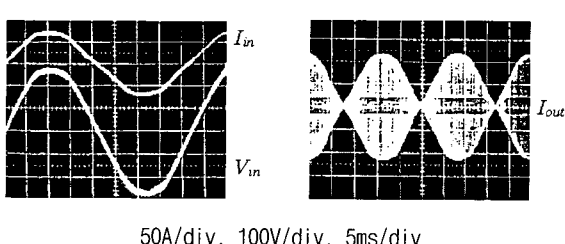


그림 5 입력전압 및 전류 파형과 출력전류 파형

Fig. 5 Input voltage and current, output current wave-forms

그림 4는 직렬 부하공진 PWM 인버터와 Pspice 시뮬레이션에 의한 출력전압 및 전류 파형을 비교한 것으로 그림 3의 인버터가 원활히 동작함을 알 수 있으며, 그림 5는 60Hz 입력의 상용전원 파형과 고주파 출력전류 파형을 나타낸 것으로 액티브 필터제어의 보정 없이 본 제안시스템의 인버터회로가 원활히 동작되고 있음을 알 수 있다.<sup>[7]</sup> 그림 3에서 사용한 IGBT는 후지사의 2MBI 100N-060제품으로 내압이 600V, 100A이다. 또한 1차측의 파라메터로 용량이 0.1μF인 콘덴서 여러개를 병렬로 하여 사용하였으며, 코일 값인 인더턴스는 106μH로 조정하였다. 이때의 출력은 400V, 25A, 10kW이며 공진 주파수는 20kHz이다.

2차 측에서는 출력을 400V, 15A, 6kW로 하였으며 용량이 0.1μF인 다수의 콘덴서를 병렬구성하고 인더턴스는 80μH로 하여 공진 주파수를 20kHz로 하였다.

#### 4. 고주파 인버터제어 전자유체가열 시스템

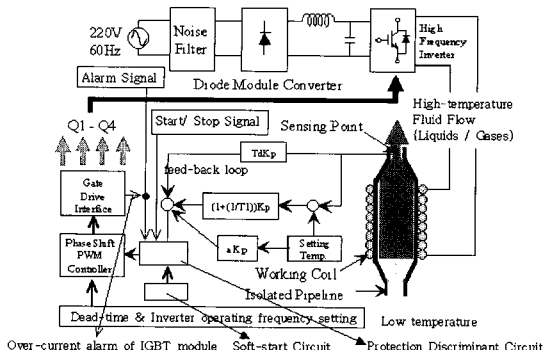


그림 6 제안 시스템 구성도

Fig. 6 Structure of proposed system

그림 6은 상용전원을 수십kHz의 HFAC로 변환 및 변조하기 위한 전력변환 프로세서와 가열용기(질화계 불소수지관) 출구의 유체의 온도를 제어하기 위한 신호변환 제어계의 구성도를 나타낸다.

일반적으로 열 교환기라는 것은 2개의 기체 및 액체 등의 증발체의 온도차를 격벽 등을 이용하여 혼합하지 않고 열 이동을 행하게된다. 그러나 본 방식은 그림 2와 같은 적층형 규칙 층진 금속발열체의 내부까지 가열하므로 발열체의 직경, 계적 및 재질, 절연파이프 등의 두께 등의 항목에 따라 다소간 차이는 있으나 수십 kHz대의 고주파전류가 필요하므로 인버터의 스위칭소자로서 저전압강하 타입의 IGBT모듈(100A/1200V)을

적용한 전압형의 전류공진방식을 적용하였다. 특히 IGBT의  $V_{CE(sat)}$ 가 낮은 것일수록 유리한데 이러한 관점에서 IGBT보다 MCT 및 B-SIT의 도입도 유용하리라 판단된다.

또한 다이오드 정류기의 출력 측에 비평활 LC필터를 사용하므로 상용주파수의 전원 측에서 보면 복잡한 액티브 PWM제어를 행하지 않고 고효율 특히 선 전류의 정현화 기능을 갖게되었다. 이로 인하여 본 시스템은 전원환경에 뛰어난 특성을 갖는다. 부하 측에서 보면 그림 6과 같이 간단히 제어시스템을 구성할 수 있기 때문에 항상 공진주파수에 가까운 동작점 이른바 최대출력 공급 정합조건 근처에서 스위칭이 이루어지도록 위상지연 PWM제어에 의해 부하에 적합한 정합환경을 만족시킨다. 더욱이 고주파 인버터에 의한 DC-HFAC 변환부의 크기축소 및 무게의 경량화라는 고밀도화가 가능한 직렬 공진회로에 의한 ZCS동작 모드를 이용하므로 IGBT처럼 MOS 게이트 드라이브로 turn-on, 바이폴라 모드에서 turn-off하는 스위칭소자에서는 테일전류에 의한 과도손실도 극히 적다. 따라서 노이즈필터의 소형화가 가능하며 급격한 전압서지에 대해서는 클램프형 무손실 스너버회로의 구성만으로 시스템의 안정동작을 도모할 수 있다. 특히, 위상지연 PWM Full-Bridge 인버터에서의 기준암은 lossless 인덕턴스 스너버제어 상(相)암이 lossless 캐페시턴스 스너버로 구성되어있다. 따라서 이러한 관점에서 PWM제어 프로세서에서도 소프트스위칭을 행할 수 있으므로 PWM제어에 관계없이 소프트스위칭이 실현 가능하도록 보조공진 전류(轉流)암 링크 타입의 고주파 PWM인버터의 도입도 생각할 수 있다<sup>[6]</sup>.

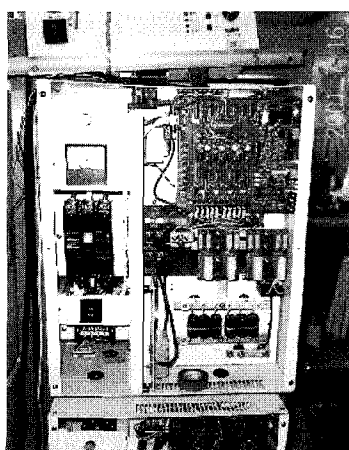


그림 7 공진 인버터 실험장치  
Fig. 7 Experimental set up resonant inverter system

그림 7은 실제 사용된 공진형 인버터회로장치를 나타내는데 1차 측은 5kW로 2차 측은 3kW로 정합 설계되어 그림 8에서 알 수 있듯이 DPH부하를 오토튠 PID제어방식에 의해 동작이 가능하도록 시스템을 구성하였다.

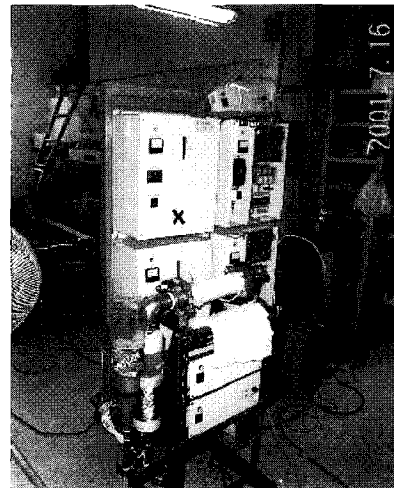


그림 8 DPH 시스템의 실험장치  
Fig. 8 Total system of the DPH

## 5. 실험기의 성능 평가

표 1은 공진형 인버터를 이용한 DPH시스템의 사양을 나타내며, 그림 9는 DPH시스템의 정상상태에서의 동작특성을 나타내고 있는데 전압형 직렬공진 인버터의 출력이 정주파수의 위상차  $\phi$ 를  $0^\circ \sim 180^\circ$  까지 가변시킴에 따라 연속적으로 조정되고 있음을 알 수 있다.

표 1 DPH시스템의 기본사양  
Table 1 Specification of DPH system

항목	단위	DPH
1차 측 용량	kW	5
2차 측 용량	kW	3
증발증기량	kg/hr	6.50이상
사용압력		상압
온도제어방식		2자유도PID제어
급수방식		직결방식
사용전원		3상 220V
설비전력	kVA	8.5

여기서 제안된 본 시스템의 전력변환 효율은 다음과 같은 식으로 나타낼 수 있다.

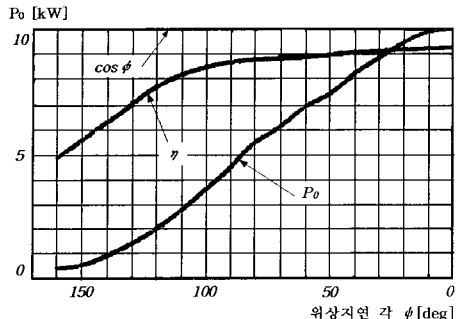


그림 9 제안된 인버터유도가열기의 정상상태특성  
Fig. 9 Typical steady-state characteristics of proposed inverter induction heater system

$$\eta = \frac{P_{OUT}}{P_{IN}} \times 100 [\%] \quad (1)$$

$$P_{OUT} = c \Delta T \frac{\Delta Q}{860} \times 1000 [W] \quad (2)$$

여기서,

$\cos \phi (\times 0.1)$  : Power factor

$C \approx 1.0$  (SpecificHeat)

$\Delta T = T_2 - T_1$

$\eta (\times 10\%)$  : Power conversion efficiency

$P_{OUT}$  [kw] : output power,

$P_{IN}$  [kw] : input power

$T_1$  : Vessel의 1차 검출온도,

$T_2$  : Vessel의 2차 검출온도이다.

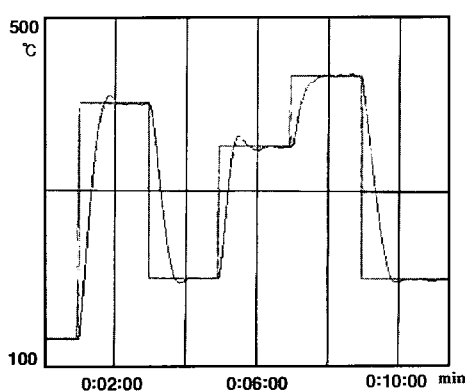


그림 10 전자유도 가열부의 온도추종 특성  
Fig. 10 Temperature tracking characteristics of the proposed electromagnetic induction heater

그림 10은 유체로서 공기를 사용하여 가열한 열풍발생장치의 경우의 온도추종특성을 나타내는데 절연 파이프라인에 흐르는 기체는 공기만이 아닌 다양한 증발체의 급속 가열이 가능하며 또한 발열부의 열용량이 작기 때문에 출구온도의 응답성 및 제어성이 우수하고 내부발열체가 단선 및 단락 되는 부분이 없으므로 내열성이 뛰어나며 저압 고온의 온도변화에 적합한 특성을 갖는다.

또한, 그림 11에 온도응답특성 그래프에서 알 수 있듯이 급격한 온도상승 및 하강에 대해서도 뛰어난 온도추종특성을 나타내고 있음을 알 수 있다.

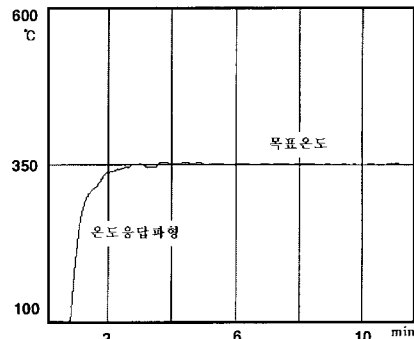


그림 11 전자유도 가열기의 온도응답 특성

Fig. 11 Temperature response characteristics of the proposed electromagnetic induction heater

## 6. 열방사성 증발체 발생 시스템

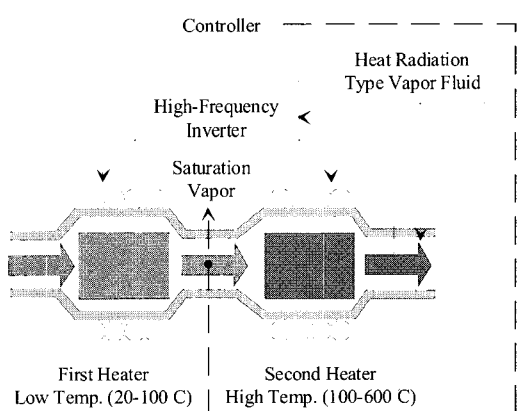


그림 12 유도가열 포화증기 및 과열증기 발생장치  
Fig. 12 Generating system of induction-heated saturation vapor & heat-radiation type vapor fluid

과열(過熱) 증기는 포화증기를 재가열하는 re-boiler로서 열 교환기가 필요하지만 본 시스템에서는 가열장치를 그림 1에 나타낸 것과 같이 고주파 공진형 인버터제어 유도가열에 의한 포화증기 발생부(1단가열부)와 과열증기 발생부(열 방사성/ 2단가열부)로 나눌 수 있는 토탈 시스템을 그림 12에 나타내었다.

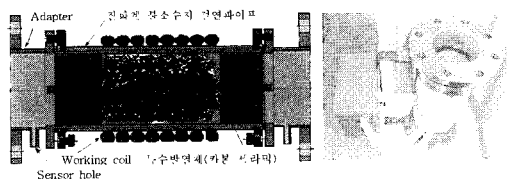


그림 13 카본 세라믹을 이용한 과열 증발유체 가열부

Fig. 13 Part of heat-radiation type vapor fluid system using the carbon ceramic

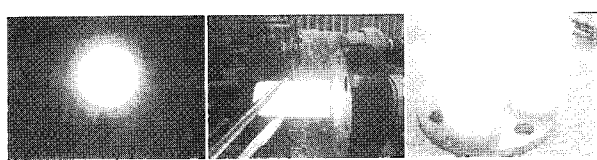


그림 14 가열된 카본 세라믹 충진물 (1000°C)

Fig. 14 Heated carbon ceramic Metallic Package

본 시스템은 공진형 인버터구동 제 1 전자(電磁)가 열부에서 저압의 포화증기를 생성하고 다음의 제 2 전자(電磁) 가열부에서 200~600°C 정도의 저압과열(열 방사성)증발유체를 순시 또는 연속적으로 출력하게된다.

각각의 전자(電磁)가열부에 의한 유체가열방식은 불소수지계의 절연체 용기내에 특수 스텐레스 합금의 박판 적층형 규칙 충진발열체를 수납하여 용기 외부의 고주파 공진형인버터 접속의 위킹코일로부터 비접촉 상태로 전자유도 와전류를 구조체에 훌림으로서 발열하게된다. 또한 제 1 전자가열부에 종래의 보일러 시스템을 도입하고 제 2 가열부로써 열방사성 증발유체를 발생시켜 방청, 살균, 건조의 각 프로세스를 동시에 달성 가능함으로서 금속제품 및 글라스제품 등의 가공 및 그린세정 등을 동시에 실현할 수도 있다.

특히, 2단 가열부를 그림 13의 왼쪽 도면에 나타낸 바와 같이 내부의 충진 가열물을 카본세라믹으로 대체하고 내열특성을 강화한 질화계 불소수지관을 이용하여 오른쪽의 사진에 나타낸 바와 같이 과열증기 발생부를 구성할 수 있다.

실제로 그림 14는 카본 세라믹을 2단 가열부로 구성하여 3분이라는 짧은 시간에 1000°C까지 가열된 모습을 나타내는데, 이러한 전자(電磁)유도가열시스템은 열교환 효율이 높고 고정도의 온도제어와 순시가열이 가능한데 본 DPH시스템 장치는 비접촉식이므로 히터의 신뢰성이 높으며 스케일 부착에 따른 유체품질의 저하가 없으며 시스템전체를 소형화 할 수 있는 특징을 가지고 있다. 더욱이 공진형 인버터를 이용하는 유도가열방식의 가열에 의한 배기가스정화 시스템 및 배출미립자 저감용 유도가열 공진형 인버터시스템의 연구개발도 진행 중에 있다<sup>[5]</sup>.

표 2에는 종래의 시스템과 본 시작 실험기에 의한 특성을 비교한 것이다.

표 2 종래의 시스템과 DPH의 특징 비교

Table 2 Comparison between conventional system and DPH

가열방식	단위	시즈히터	DPH
최고 사용온도	도	260	500이상
전열방법		열매유	직접가열
총 전기용량	kW	14	14
발열용량	kcal	8170	11000
모터 출력	kW	3.8	/
냉각수		모터냉각용	/
총중량	kg	600	20
목표온도 도달시간		약 1시간	30~40초
전열면적	cm <sup>2</sup>	약 4400	약 22000

## 7. 결 론

DPH 유도가열방식이 절연파이프 용기 내에 내장되는 적층형 규칙 충진가열체를 전자유도가열 이론에 의해 발열시켜 유체(기체, 액체 및 증발체 등)를 통과시킴에 따라 발열체와 유체의 직접접촉에 의한 고효율의 열 교환이 행하게 된다. 종래의 시스템과 본 DPH시스템과의 비교 분석표에서 볼 수 있듯이 본 시스템이 기존의 시스템보다 더 많은 장점이 있다는 것을 알 수 있었다.

그러나 앞으로 고주파인버터의 스위칭손실 및 노이즈 대책, 고성능화 그리고 소프트 스위칭방식에 대한 실증적 연구가 계속 필요하며 특히, 고주파인버터의 회로방식 및 제어부의 개발 그리고 유체가열부의 새로운 구조의 제안과 그 열 교환효과에 대해 보다 구체적으로 연구가 진행되어야 할 것이다.

## 참 고 문 헌

- [1] 内堀、川村、中岡, "アクティブフィルタ機能付き高周波インバータを用いた電子誘導熱交換器", 電氣學會半導體電力變換研究會(SPC), pp. 73~82, 1994年 6月.
- [2] 内堀、川村、金龍柱、中岡, "オートチューニングPID制御インバータによるデュアルパックス構造形電子誘導器液加熱システム", 平成 6年 電氣關係學會完濟支部 聯合大會 GS-1, 1994年 11月.
- [3] 石間, "誘導加熱用インバータの新型マッチング技術", 島田理化技報, Vol. 3, No. 1, pp. 29~31, 1993年 1月.
- [4] Y. Uchihori, Y. Kawamura, Y. J. Kim and M. Nakaoka, "New Induction Heated Fluid Energy Conversion Processing Appliance incorporating Auto tuning PID control based PWM Resonant IGBT Inverter with Sensorless Power Factor Correction", *Proceedings of the IEEE Power Electronics Specialist Conference*, pp. 1191~1197, 1995, June.
- [5] 畑中, 國武, "排出微粒子低減用高周波誘導加熱電源", 日本舶用機關學會誌, 第31卷, 第6号, pp. 325~334, 1996年 6月.
- [6] 金 龍柱, 中岡 陸雄, "部分共振高周波負荷共振 PWM Inverter を使用した小型電子ポイ-ラ應用", 日本電氣學會全國大會, pp. 4-124, 1999年. 3月.
- [7] Y J KIM, D C SHIN, "Soft-Switched PWM DC-DC Converter with Quasi Resonant-Poles and Parasitic Reactive Resonant Components of High-Voltage Transformer", 전력전자학회 논문지, vol. 4, No. 4, pp. 384 ~395, 1999년 8월.
- [8] 김용주, 신대철, 김기환, 内堀、川村, "전압형 고주파 인버터를 이용한 간접유도가열 열유체 에너지시스템과 그 성능평가", 전력전자학술대회 논문집, pp. 483~486, 2001년 7월.

## 저 자 소 개

### 김용주(金龍柱)



1960년 3월 19일생. 1984년 건국대 전기공학과 졸업. 1988년 동 대학원 전기공학과 졸업(석사). 1996년 Univ. of Kobe(공학박사). 1995년 일본전자통신학회 국제학술조사위원. 1996년 SDI 선임연구원. 현재 특허청 전기심사담당관실 심사관, 호서대 전기공학과 겸임교수. 당 학회 학술위원.

### 김기환(金基桓)



1960년 1월 25일생. 1983년 건국대 전기공학과 졸업. 1990년 독일 Siegen Univ. 전기전자공학과 졸업(Dipl.-Ing.). 1995년 동대학원 졸업(Dr.-Ing.). 1990년~1996년 Siegen Univ. Techn. Assit., 1997년~현재 세명대 전기전자공학부 조교수. 당 학회 편집위원.

### 신대철(申大澈)



1951년 3월 2일생. 1973년 건국대 전기공학과 졸업. 1975년 동 대학원 전기공학과 졸업(석사). 1991년 동 대학원 (박사). 1989년~1990년 나가사키대학 visiting scholar. 1989년~현재 호서대 전기공학과 교수.